# 原子级制造专题

# 氢去钝化光刻技术研究进展

鲍洋 徐海\* 景鹏涛 徐辑廉 闫家旭 詹达 刘雷 申德振 (中国科学院长春光学精密机械与物理研究所 特种发光科学与应用全国重点实验室 长春 130033)

# Research Progress of Hydrogen Desorption Lithography Technology

BAO Yang, XU Hai<sup>\*</sup>, JING Pengtao, XU Jilian, YAN Jiaxu, ZHAN Da, LIU Lei, SHEN Dezhen (Changchun Institute of Optics, Fine Mechanics and Physics, Chinese Academy of Sciences, State Key Laboratory of Luminescence Science and Technology, Changchun 130033, China)

Abstract Silicon-based semiconductor technology, as the cornerstone of the semiconductor industry, has achieved manufacturing precision at the scale of a few nanometers and is now advancing toward atomic-level precision. However, due to the Rayleigh diffraction limit, traditional extreme ultraviolet (EUV) lithography is unable to meet the demands for atomic-scale precision required in future semiconductor manufacturing. As an atomically precise lithography technique, hydrogen depassivation lithography (HDL) has emerged as a strategic solution to address this challenge, owing to its exceptional spatial resolution and scalability. Leveraging the atom manipulation capabilities of scanning tunneling microscope (STM), HDL enables atomic-scale patterning by precisely controlling the desorption of hydrogen atoms on silicon surfaces. Since its introduction in the 1990s, HDL has successfully fabricated devices such as single-atom transistors and quantum logic gates, which are unattainable through traditional lithography processes, showcasing its transformative advantages. This article provides a comprehensive review of the development history and key breakthroughs of HDL technology, while also exploring its future prospects. By further improving processing efficiency and reliability, HDL technology is poised to enable widespread applications in various fields, including semiconductor manufacturing, nanoimprint technology, and quantum device manufacturing, thereby driving significant progress in the future of semiconductor technology.

**Keywords** Atomic manufacturing, Silicon-based semiconductors, Lithography technology, Scanning tunneling microscopy

摘要 硅基半导体技术作为半导体产业的核心支柱,其制造精度已逼近几纳米,正向原子级精准制造迈进。然而,受瑞利衍射极限制约,传统的极紫外光刻技术已难以满足未来半导体制造对更高精度的需求。作为一种原子级精准的光刻技术, 氢去钝化光刻(HDL)凭借其极高的空间分辨率和可扩展性,成为了突破硅基半导体技术发展瓶颈的重要战略方向。该技术基于扫描隧道显微镜探针的原子级操控,通过精确控制硅表面氢原子脱附,实现原子级图案化加工。自 20 世纪 90 年代问世以来,该技术已经成功制造出单原子晶体管、量子逻辑门等传统光刻工艺难以实现的器件,展现出了颠覆性的技术优势。文章系统回顾了 HDL 技术的发展历程与关键突破,并展望其未来发展方向。未来,通过进一步提升加工效率和可靠性, HDL 技术有望在半导体芯片工艺升级、纳米压印技术升级和量子器件制造等前沿领域实现广泛的应用,推动未来半导体科技的重大发展。

关键词 原子制造 硅基半导体 光刻技术 扫描隧道显微镜

中图分类号: O469 文献标识码: A doi: 10.13922/j.cnki.cjvst.202503006

硅材料作为半导体产业的核心支柱, 凭借其成 熟的工艺技术和广泛的应用基础,推动了现代电子 科技的飞速发展。当前, 硅基半导体器件的制造精 度已突破至纳米级别,并逐步向原子级精准制造迈 进。比利时微电子研究中心(IMEC)于 2022 年发布 了未来硅基晶体管的亚1纳米工艺节点路线图,指 出到 2036年, 半导体器件将从纳米时代迈入原子 (埃米)时代,这意味着硅材料的原子级精准制造将 成为半导体科技发展的战略突破方向[1]。在这一进 程中,光刻技术的升级扮演着至关重要的角色。光 刻技术作为芯片制造的核心环节,其分辨率直接 决定了半导体器件的制造精度。自20世纪70年代 以来,光刻技术经历了显著的技术演进:从采用 436 nm 汞灯光源的接触式光刻, 到使用 365 nm 波 长的步进式光刻,再到基于 193 nm 波长的深紫外光 刻技术,这一系列技术革新推动着芯片制程从微米 级逐步升级到纳米级。然而,受限于瑞利衍射极限 (R=k1λ/NA)的理论约束, 193 nm 光刻技术的加工 精度被限制在32 nm线宽,已难以满足5 nm及以下 技术节点芯片制造的精度需求[2]。为应对市场对高 性能芯片的迫切需求, 极紫外光刻(EUV, 波长 13.5 nm)技术应运而生。该技术通过极紫外光源、 高数值孔径投影光学系统和先进的光刻胶材料,实 现了 13 nm 线宽的加工精度,并预计在 2028 年左右 突破 8 nm 线宽精度, 成为了 5 nm 及以下技术节点 芯片制造中不可或缺的关键设备[3]。随着芯片制造 技术迈入最先进的 2 nm 工艺节点, 器件的特征尺寸 已逐渐逼近原子尺度,传统光刻技术面临着衍射极 限的严峻挑战。为突破这一困境,科研界正致力于 探索超越经典光刻范式的新型光刻技术。

2022年,美国 Zyvex 公司推出基于扫描隧道 显微镜(STM)的亚纳米分辨率光刻系统— ZyvexLitho1。该系统利用氢去钝化光刻技术 (Hydrogen Depassivation Lithography, HDL), 通过电 子束移除硅表面氢原子,实现了世界上分辨率精度 最高的 0.768 nm 分辨率的硅表面高精度图案化技 术,远超现有极紫外光刻机的精度。HDL的核心原 理是利用硅表面吸附的单层氢原子作为抗蚀剂,即 硅表面经过氢钝化处理后,形成一层稳定的 Si-H 键,这层氢原子可以防止硅表面与外界环境发生反 应。通过 STM 探针发射电子, 可以在局部区域断 裂 Si-H 键, 使硅表面暴露出具有反应活性的硅悬键, 从而实现原子级精度的图案化加工。这些暴露的 区域可以用于后续的材料沉积、掺杂或蚀刻步骤, 完成器件的制造。近年来,研究人员已成功利用 HDL 技术在硅基底上实现了单原子晶体管、量子逻 辑门等传统光刻工艺无法企及的器件制造,为原子 级精度的芯片制造和量子器件制造提供了重要的 原理性验证。这些突破性成果不仅展示了 HDL 技 术在原子尺度加工中的独特优势,也为未来半导体 器件的微型化和高性能化开辟了全新的技术路径。 随着 HDL 技术的不断成熟与优化, 其加工效率、可 靠性和可扩展性有望进一步提升,从而推动这些原 型器件从实验室走向大规模制造。为了更直观地 展示 HDL 技术的特点,表1从分辨率、加工精度、 生产效率和适用场景等核心指标出发,系统地对比 了HDL技术与当前业界广泛采用的其他光刻工艺 的异同。通过表中的对比可见, HDL 技术在加工分

表 1 不同光刻技术实现路径对比分析

Tab. 1 Comparison of Different Lithography Technologies

技术参数	氢去钝化光刻	极紫外光刻	电子束光刻	纳米压印光刻
	( HDL)	(EUV)	( EBL)	( NIL )
加工分辨率	0.768 nm	8 nm	5-10 nm	10-20 nm
掺杂控制	原位调控	需后续离子注入	需后续离子注人	需后续离子注入
图案稳定性	采用氢抗蚀剂,仅在真空中 稳定,需原位封装	采用光敏感聚合物, 稳定性高	采用电子敏感聚合物, 稳定性高	采用光或热敏感聚合物, 稳定性高
加工精度	原子级平滑	受成像误差、光学畸变 等影响,纳米级	受电子散射影响, 纳米级	受模板质量影响, 纳米级
生产效率	低(串行写人)	高(并行曝光)	较低(串行写人)	高(并行压印)
适用场景	自由度高,适用于原子级、 量子器件	芯片大规模制造	自由度高,适合定制化器件	周期性结构 ( 光栅、存储器件 )
产业化成熟度	实验室阶段	行业主流	研发/掩膜版加工	小规模量产

辦率、加工精度、掺杂控制(原位调控)等方面具有明显优势。然而, HDL 技术也面临着生产效率较低且需在真空环境下封装等应用挑战。随着工艺的持续优化, 预计在不久的将来, HDL 技术有望在半导体芯片工艺升级、纳米压印技术升级和量子器件制造等前沿领域实现更广泛的应用, 从而推动未来半导体科技的重大发展。

本文首先系统回顾了 HDL 技术的发展历程; 随后, 探讨了该技术在芯片制造工艺升级、纳米压 印技术革新、量子计算等前沿领域的应用前景; 最 后, 总结了当前面临的技术挑战, 并对未来发展方 向进行了展望。

## 1 氢去钝化光刻技术的发展历程

## 1.1 技术背景与早期突破

HDL 技术的诞生可以追溯到 20 世纪 90 年代 对于 STM 纳米操纵技术的研究。1990年 Eigler D M团队在镍表面用 35 个氙原子拼写"IBM"的创举, 开启了原子尺度操控的新纪元[4]。在此技术背景下, NIST 的 Dagata J A 等<sup>[5]</sup> 于 1991 年率先在湿法钝化 的 Si(100)表面实现局域氧化图案, 贝尔实验室 Becker R S 团队发现电子诱导氢脱附可形成清洁硅 表面<sup>[6]</sup>, IBM 的 Boland J J 等<sup>[7]</sup> 则通过热脱附研究揭 示了单氢钝化表面的形成机制。这些关键突破为 HDL 的诞生奠定了基础。1993年,美国伊利诺伊大 学研究团队首次报道了 HDL 技术。他们在氢钝化 的 Si(100)2×1 重构表面, 通过控制 STM 探针入射 电子的剂量,实现了 Si-H 键的断裂,并观察到了两 种不同的解吸附机制:(1)高偏压下的场发射电子解 吸机制:在高电压下,STM 探针发射的电子能量较 高,能够直接断裂 Si-H 键; (2)低偏压下的多电子激 发解吸机制: 在低电压下, STM 探针通过多个电子 的非弹性散射过程激发 Si-H 键振动, 间接断裂 Si-H键[8]。Lyding JW等[9]研究了STM探针的电流和 电压对氢去钝化精度的影响,发现低偏压(-4.5 V) 和较高的隧穿电流(2 nA)能够实现原子级精细的光 刻,同时有效减少 STM 针尖杂散电子引起的额外 氢解吸。采用高偏压和低电流虽然会降低图案边 缘的分辨率,但会提高整体解吸效率。基于这些发 现,研究人员提出了一种分步优化策略:首先利用 高偏压快速解吸微米级区域以提高加工效率,随后 采用低偏压和较高电流对图案边缘进行精细修整,

从而实现高效且原子级精确的光刻。而后, Zyvex Labs 研究团队的 Xu H 等<sup>[10]</sup> 进一步研究了氢去钝化过程中的参数(偏压、电流和电子剂量)对图案化精度的影响,给出了图案化参数的最佳范围。研究发现在最佳图案化参数(3 V, 30 nA, 10 mC cm<sup>-1</sup>)下,图形质量对 STM 针尖几何形状的依赖性显著降低,同时图形化精度始终保持在最高的双氢原子去除水平。基于这一发现,研究团队成功制备了宽度仅为 0.768 nm 的硅悬挂键纳米线。通过在相同区域内进行多次图案化,实现了不同图形之间亚 1 纳米精度的精确对准。这一发现证实了氢去钝化光刻技术具有优异的可重复性和工艺稳定性,为该技术在高精度纳米制造领域的实际应用提供了重要的理论依据和技术指导。

1990 年代中期, Tucker J R 和 Shen T C<sup>[11]</sup> 提出了利用氢去钝化技术制造纳米器件的初步设想。他们提出了一种分步制造方法(图 1): (1)氢去钝化:利用 STM 探针在氢钝化的硅表面去除氢原子,暴露出硅悬键; (2)掺杂前驱体沉积: 在暴露的硅悬键区域引入 PH<sub>3</sub>、AsH<sub>3</sub>或 B<sub>2</sub>H<sub>6</sub>等掺杂气体,形成有序排列的掺杂前驱体; (3)硅外延覆盖: 通过低温硅外延技术覆盖硅层, 限制掺杂原子的重新分布。(4)重复上述步骤以构建三维器件结构。在 Tucker J R 等<sup>[11]</sup> 提出原子级器件制造的理论框架后,全球多个研究团队迅速跟进, 展开了对氢去钝化工艺的开发与优化工作。其中, 澳大利亚新南威尔士大学<sup>[12-27]</sup>以及美国 Zyvex 公司<sup>[10, 28-37]</sup> 等研究机构率先在这一领域取得了重要进展。

## 1.2 掺杂机制与平面器件制造工艺

在通过 STM 光刻完成所需结构的图案化后,澳大利亚新南威尔士大学的 Simmons M Y 课题组开展了一系列在裸露硅区域进行受控掺杂的研究。2003 年,他们率先展示了磷烷(PH<sub>3</sub>)可以在 623 K 的温和加热条件下将磷(P)原子掺入 Si(001)表面,低于 Si-H 键分解温度(770 K),确保了氢去钝化模板在掺杂过程中保持完整。基于该技术,他们成功实现了以 1 nm 精度在硅中掺入单个 P 原子,并制造了宽度仅为 4 nm 的 P 原子掺杂纳米线<sup>[13]</sup>。 随后,该课题组进一步解析了 PH<sub>3</sub> 的掺杂过程:在氢钝化的硅表面(图 2(a))上,利用 HDL 技术制备出图案化的硅悬键区域(图 2(b)中长方形区域)。在 PH<sub>3</sub> 气氛中, PH<sub>3</sub> 分子仅吸附在暴露的硅表面,而不会吸

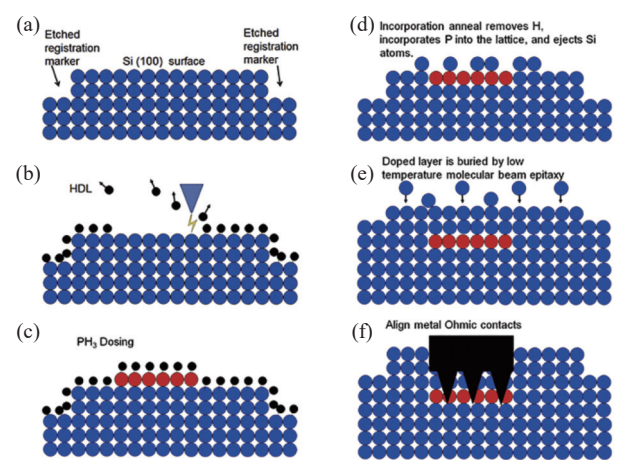


图1 基于 HDL 技术的器件制造工艺<sup>[36]</sup>。(a)在超高真空腔体中对预先蚀刻出对准标记的硅表面进行高温清洁处理。(b)对清洁的硅表面进行氢钝化处理,并通过 HDL技术暴露硅悬键,实现硅表面图案化。(c)向腔体中通人磷化氢气体,该气体将选择性吸附于暴露的硅悬键。(d)通过热处理将磷原子掺入硅晶格。(e)低温分子束外延生长硅层,实现掺杂磷原子的封装,形成埋入式器件。(f)对准标记并沉积金属化层,使其与埋入式器件的磷掺杂电极形成欧姆接触

Fig. 1 Device fabrication process based on HDL technology<sup>[36]</sup>.

(a) High-temperature cleaning of a pre-etched silicon surface with alignment markers in an ultra-high vacuum chamber. (b) Hydrogen passivation of the cleaned silicon surface, followed by HDL to expose silicon dangling bonds, enabling surface patterning. (c) Introduction of phosphine gas into the chamber, which selectively adsorbs onto the exposed silicon dangling bonds. (d) Incorporation of phosphorus atoms into the silicon lattice through thermal annealing. (e) Low-temperature molecular beam epitaxy growth of a silicon layer to encapsulate the doped phosphorus atoms, forming an embedded device. (f) Alignment of markers and deposition of a metallization layer to form ohmic contacts with the phosphorus-doped electrodes of the embedded device

附在氢抗蚀层上(图 2(c))。吸附后, PH, 经历一系列连续解离, 直到失去所有三个氢原子。具体过程如下: 在 PH, 吸附的初始步骤中, PH, 与硅表面形成配位键并立即解离为 PH<sub>2</sub> + H。随后, PH<sub>2</sub> 片段在几分钟内进一步解离为 PH + 2H。最终, PH 片段解离生成 P+3H<sup>[16]</sup>。为了促进吸附的 P 原子掺入硅表面晶格, 需要通过热激活使 P 原子取代硅原子, 同时弹出一个硅原子。这些弹出的硅原子随后形成垂直于下方 Si-P 二聚体的一维链, 这一现象标志着 P

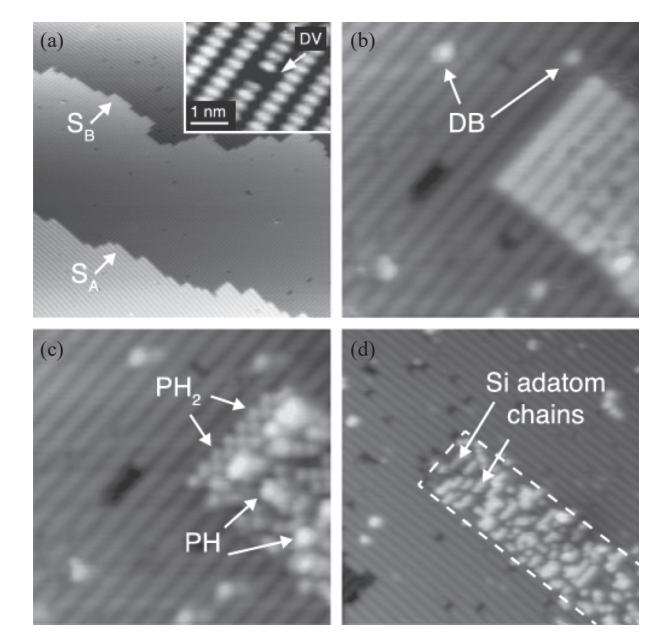


图2 基于 HDL 技术的硅表面磷原子精准掺杂工艺<sup>[42]</sup>。(a) 清洁的 Si(001)-2×1 表面的 STM 图像,清晰地显示出两种类型的硅原子台阶。(b)Si(001)-2×1 表面经过HDL 光刻后形成的图案化区域(图像右下部分的长方形),显示出去钝化区域比周围氢终止区域的 STM 对比度更亮。同时,在附近可见非故意去钝化产生的单个硅悬挂键(dangling bond, DB)。(c)同一区域在磷化氢气体吸附后的图像。在去钝化区域内可以看到 PH<sub>2</sub> 和PH 片段。(d)热处理激活磷原子掺杂后,掺杂区域表面形成了由磷置换出的硅原子所组成的原子链,表明磷原子已经成功掺入硅晶格

Fig. 2 Precise phosphorus doping process on silicon surfaces based on HDL technology<sup>[42]</sup>. (a) STM image of a clean Si(001)-2×1 surface, showing two types of silicon atomic steps. (b) Patterned region (rectangular area in the image) formed on the Si(001)-2×1 surface after HDL lithography, displaying brighter STM contrast in the depassivated region compared to the surrounding hydrogenterminated area. Additionally, single silicon dangling bonds (DB) is visible nearby. (c) Image of the same region after phosphine gas adsorption. PH2 and PH fragments can be observed within the depassivated region. (d) After thermal annealing to activate phosphorus doping, atomic chains composed of silicon atoms displaced by phosphorus are formed on the surface of the doped region, indicating successful incorporation of phosphorus atoms into the silicon lattice

原子的成功掺入(图 2(d))。在掺杂剂成功掺入后, 图案化区域随后被外延生长的约 25 nm 硅层覆盖, 这一步骤的主要目的是:(1)完全激活掺杂剂,以及 (2)消除表面缺陷对掺杂剂电子态的影响。尽管在 硅封装过程中磷掺杂剂会向上偏析,但通过采用较 低的硅外延生长温度(约 250℃),偏析值可以被精 确控制在 6 Å的范围内<sup>[15,38-39]</sup>。这些研究系统地揭 示了 PH<sub>3</sub> 在硅表面的解离、掺杂与封装机制,为下 一步原子级精度半导体器件的制造提供了重要的 技术基础。此外,基于 HDL 技术的硅表面砷(As) 原子掺杂工艺也于近期取得了突破<sup>[40]</sup>。

在成功开发出完整的 P 原子掺杂策略后, 研究 人员利用该技术制备了不同宽度的 P 掺杂纳米导 线,作为原子级器件的基本构建单元——电学引线。 早期的研究表明,通过在暴露的硅表面进行饱和 P 原子掺杂(相当于 1/4 个单原子层), 可以使相邻 P 原子之间的间距(约 1 nm)小于其波尔半径(约 2.5 nm), 从而在掺杂区域产生金属导电性。这一理 论很快在宽度从 50 nm 到 90 nm 不等的纳米导线上 得到了实验验证[14,41]。随后,研究人员将这一结论 的适用范围进一步推广到 1.5 nm(即 4 个硅原子)宽 度的 P 掺杂纳米线上, 并通过电学测量证明, 即使 在原子尺度下, 这些纳米导线仍然表现出欧姆行 为[21]。这些纳米导线具有高度平面化的特性,其 导电范围仅跨越几个原子平面,从而实现了低至 10<sup>-8</sup> Ω·cm 量级的二维电阻率。这种极低的电阻率 对器件应用非常有利,不仅有助于避免测量期间的 电阻加热效应,还能支持电信号的高速传输。

此外,为了解决 HDL 制造的原子尺度器件与外部世界连接的关键挑战,研究人员开发了一种定制设计的 STM-SEM-MBE 真空互联系统。该系统结合硅表面刻蚀出的对准标记和原子级精准的HDL 光刻与磷原子掺杂工艺,成功实现了原子精度结构与微米尺度电极的高效连接(图 3),为原子尺度器件的实用化铺平了道路<sup>[14,17]</sup>。

## 1.3 三维纳米结构制造工艺

硅基芯片制造的前沿领域正朝着三维纳米结构的高精度制造方向快速发展。这一趋势在半导体芯片制造中尤为显著,器件结构从传统的二维平面型晶体管(Planar FET)逐步演进到三维的鳍式晶体管(FinFET),并进一步发展到当前的全环绕栅极晶体管(GAAFET)。此外,硅基三维纳米结构可以用于制造复杂的微机电系统(Micro-Electro-Mechanical Systems, MEMS)器件,如加速度计、陀螺仪和压力传感器,广泛应用于汽车、航空航天和

消费电子领域。在这一背景下, HDL 技术发展的另

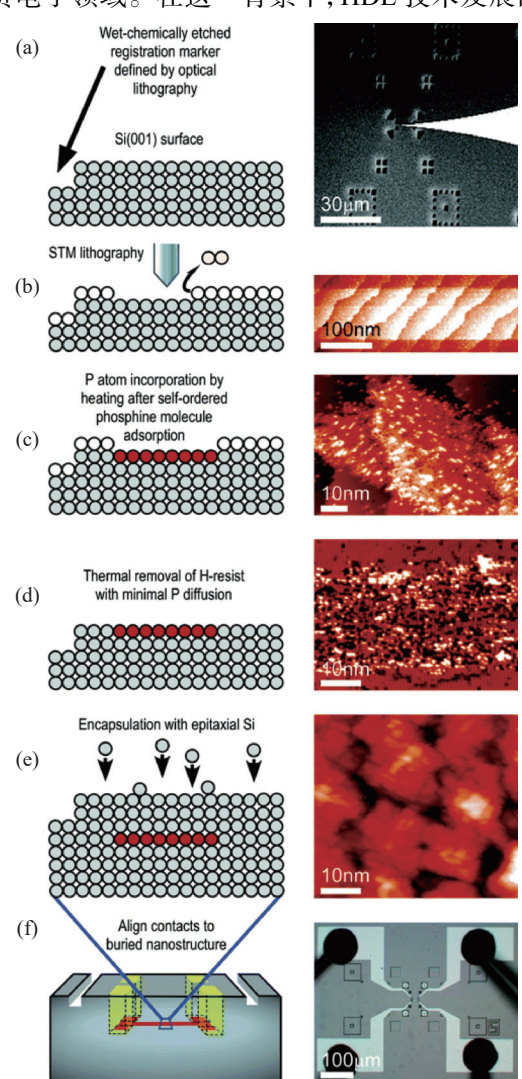


图3 原子精度器件与微米尺度电极的精准互连技术<sup>[14]</sup>。(左)(a)-(f)关键制造步骤的横截面示意图和最终器件的3D示意图。(右)对应的(a)STM 针尖(白色)对准定位标记的 SEM 图像;(b)氢去钝化区域的 STM 图像;(c)-(d)氢抗蚀剂去除前和去除后的磷原子掺杂纳米线的STM 图像;(e)硅外延生长后的 STM 图像;(f)最终器件的光学显微镜图像

Fig. 3 Precise interconnection technology between atomic-scale devices and micron-scale electrodes<sup>[14]</sup>. (Left) (a)-(f) Cross-sectional schematics of key fabrication steps and a 3D illustration of the final device. (Right) Corresponding (a) SEM image of the STM tip (white) aligned with the alignment markers; (b) STM image of the hydrogen-depassivated region; (c)-(d) STM images of the phosphorus-doped nanowire before and after hydrogen resist removal; (e) STM image after silicon epitaxial growth; (f) Optical image of the final device

一个前沿方向是在硅基底上实现三维结构的原子精度制备。美国 Zyvex 公司在这一领域取得了突破性进展。2011年, Zyvex 亚洲团队的 Xu H 等<sup>[30]</sup> 首次提出利用 HDL 技术在 Si(100)表面实现三维纳米结构的可控生长。他们通过 HDL 技术在氢钝化的 Si(100)表面精确构建了具有原子级锐利边缘的硅悬挂键活性区域, 并通过循环实施乙硅烷沉积与 HDL 技术, 成功实现了三维纳米硅结构的区域选择性生长。实验结果表明, 纳米结构的生长被严格限制在氢去钝化区域内(图 4(a)), 而氢终止的 Si(100)表面则对前驱体分子表现出优异的抗吸附特性。这一发现为 HDL 技术在三维纳米结构制备中的应用提供了关键的原理性验证。2014年, Zyvex 团队

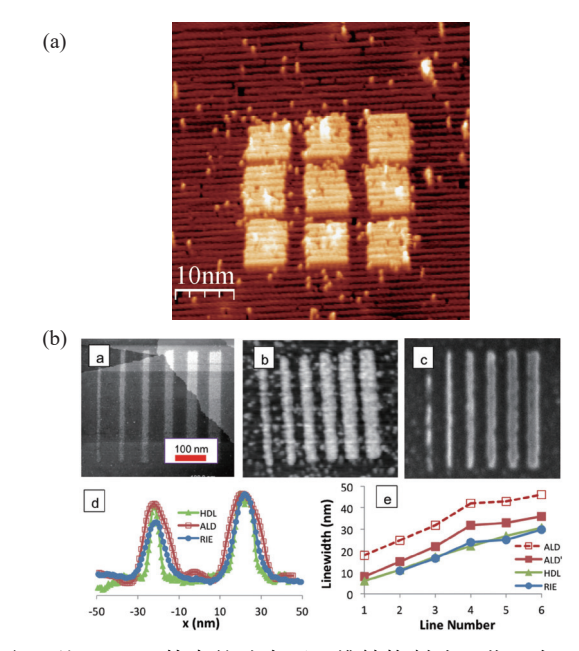


图4 基于 HDL 技术的硅表面三维结构制造工艺。在 HDL 光刻制备的图案化硅表面,(a)通过硅低温外延生长实 现三维硅结构的原子精度定向生长;(b)通过原子层沉 积(ALD)的 TiO<sub>2</sub> 硬掩膜结合反应离子刻蚀(RIE),实现 三维硅结构的原子精度定向刻蚀<sup>[34]</sup>

Fig. 4 Fabrication process of three-dimensional silicon structures based on HDL technology. On the patterned silicon surface prepared by HDL lithography, (a) atomic-precision directional growth of three-dimensional silicon structures is achieved through low-temperature silicon epitaxial growth; (b) atomic-precision directional etching of three-dimensional silicon structures is realized using a TiO<sub>2</sub> hard mask deposited by atomic layer deposition (ALD) combined with reactive ion etching (RIE)<sup>[34]</sup>

进一步优化了工艺流程,提出了创新的"HDL-ALD-RIE"三级联用技术:首先利用 HDL 技术在 Si(100) 表面暴露出活性区域,随后通过原子层沉积(ALD) 技术在该区域制备二氧化钛(TiO<sub>2</sub>)硬掩膜,最后结合高精度反应离子刻蚀(RIE)工艺对无掩膜区域进行向下刻蚀。最终,他们成功实现了具有原子级锐利边缘、线宽低至 6 nm、高度超过 17 nm 的三维纳米结构加工(图 4(b))<sup>[34]</sup>。这些成果展现了 HDL 技术应用于硅基三维纳米结构制造中的巨大潜力。

# 2 氢去钝化光刻技术进展

## 2.1 多模态氢去钝化光刻技术

氢去钝化光刻技术的发展面临的主要瓶颈之一是其较慢的图形化加工速度。针对如何提高氢去钝化效率(提升刻写速度)的问题, Zyvex 公司的研究团队在 2013 年提出了多模态氢去钝化光刻(multimode HDL)的概念<sup>[33]</sup>。该技术通过结合高精度和高通量的光刻模式, 显著提高了图案化效率。具体而言, 对于大面积图案的中心部分, 采用 STM 针尖场发射机理进行大线宽光刻(偏压约为 8 V, 束斑约为 7 nm), 而在需要原子级精度的区域则采用 4-4.5 V 的小偏压模式。实验结果表明, 与单一模式的小偏压光刻相比, 多模态技术的写入时间减少了78%, 大幅提高了整体加工效率。

然而, 完全基于 STM 针尖操纵的 HDL 光刻效 率仍然明显低于电子束光刻和 EUV 光刻。这主要 是因为 STM 的控制回路依赖于针尖电流的实时反 馈来调节针尖与样品之间的距离,以防止针尖碰撞 样品。当针尖速度接近1 μm/s 时,这种控制回路可 能会失效。为了进一步提高 HDL 光刻效率,英国 伦敦大学学院和瑞士保罗谢勒研究所的联合团队 提出了将 EUV 与 STM 相结合的多模态 HDL 光刻 方案[43]。实验表明, 在氢钝化的 Si(100)表面, EUV 光可以通过价带激发产生的二次电子诱导 Si—H 键断裂,从而实现氢去钝化,验证了利用光子实现 氢去钝化的可行性。尽管该实验中使用的实验室 EUV 光源的氢去钝化效率较低, 但作者提出, 对于 商用的 300 W 功率 EUV 光源, 曝光时间可缩短至 分钟量级,从而显著提高氢去钝化效率。通过整合 EUV 光刻的高通量和 STM 光刻的原子级精度,该 技术不仅能够显著提升图案化效率,还能在关键区 域保持极高的精度,为未来 HDL 技术的规模化应

用提供了新的可能性(图 5)。

## 2.2 基于 MEMS 扫描器的多探针并行加工技术

限制氢去钝化加工效率的另一个瓶颈难题是STM 的串行加工模式(即针尖一次只能移除一个氢原子),效率极低(仅约 0.05 µm²/h)<sup>[35]</sup>。为突破这一瓶颈, Zyvex 公司研究团队提出通过高度并行的STM 探针阵列提升加工效率, 利用多探针协同工作覆盖更大区域, 从而显著提高加工通量<sup>[35]</sup>。传统的STM 依赖于笨重的压电管进行纳米级定位, 其带宽较低且易受蠕变和滞后效应的影响。基于 MEMS

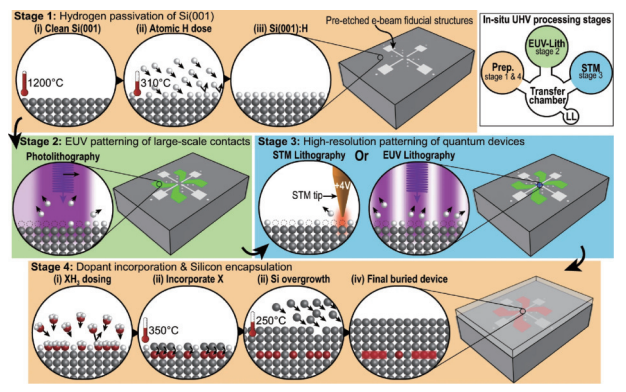


图5 EUV-STM 结合的多模态氢去钝化工艺示意图<sup>[43]</sup>。基于多模态氢去钝化光刻的器件制造主要分为四个阶段: 阶段 1, 首先准备清洁的硅表面, 随后对 Si(001)进行氢钝化; 阶段 2, 使用 EUV 氢去钝化光刻实现大尺度接触电极的图案化; 阶段 3, 使用 STM 氢去钝化光刻在接触电极中心制作图案化的原子级精准结构; 阶段 4: 进行磷原子的可控掺杂和硅外延生长封装, 形成埋入式器件。之后, 硅片被从超高真空腔中取出, 沉积电极与埋入式器件形成欧姆接触

Fig. 5 Schematic of the multi-modal hydrogen depassivation process combining EUV and STM[43]. The device fabrication based on multi-modal hydrogen depassivation lithography is divided into four stages. Stage 1: Preparation of a clean silicon surface, followed by hydrogen passivation of the Si(001) surface. Stage 2: Large-scale patterning of contact electrodes using EUV hydrogen depassivation lithography. Stage 3: Fabrication of atomically precise patterned structures at the center of the contact electrodes using STM hydrogen depassivation lithography. Stage 4: Controlled doping of phosphorus atoms and encapsulation through silicon epitaxial growth to form embedded devices. Subsequently, the silicon wafer is taken out from the ultra-high vacuum chamber, and electrodes are deposited to form ohmic contacts with the embedded devices

的扫描器,其具有更小的质量和更高的带宽(可达 10 kHz),能够实现更快的扫描速度。此外, MEMS 探针的小尺寸和批量制造能力为构建多探针阵列 提供了可能。为实现高效并行化,研究人员设计了 基于微机电系统(MEMS)的三自由度(3 DoF)独立 扫描器阵列。每个扫描器具备 X、Y、Z 方向的纳米 级定位能力,通过局部控制器和全局总线架构实现 分布式控制,有效减少了模拟信号串扰问题。与传 统的并行电子束光刻不同,并行 HDL 的电子隧穿 路径极短(仅数纳米),避免了库仑相互作用导致的 束流畸变,使探针密度理论上可达每平方厘米 10,000 个以上。通过混合信号 CMOS 控制器和专 用硬件设计,系统能够协调大规模探针阵列的动作, 同时结合高精度漂移校正技术,确保各探针与硅表 面二聚体行(dimer row)的原子级对准。最近, Zyvex 公司团队对集成了 Si 探针的 MEMS 扫描器进行了 测试,成功地在超高真空环境下实现原子级分辨率 的成像,且扫描速度比传统 STM 快三倍,为未来实 现高通量、并行化的 STM 平台奠定了基础[37]。未 来,随着 MEMS 制造技术和控制算法的进步,并行 HDL 有望在加工效率、加工精度等方面实现突破, 为原子级精密制造开辟新路径。

## 2.3 稳定探针制备技术

为了匹配多探针并行加工技术,制备能够在长 时间扫描中保持加工质量的稳定探针是关键。然 而, STM 设备中常用的金属钨(W)或铂铱合金(Pt-Ir) 探针由于化学活性较强,容易与样品表面作用引起 针尖原子迁移或杂质吸附,导致探针稳定性下降, 进而影响氢去钝化加工的精度。为了解决这一问 题,研究者提出了使用金属性陶瓷材料作为替代方 案,例如二硼化铪(HfB<sub>2</sub>)。二硼化铪不仅具有极高 的硬度(非晶态下硬度可达 20 GPa), 还具备优异的 化学稳定性和导电性,是一种理想的 STM 针尖材 料<sup>[32]</sup>。通过化学气相沉积(CVD)技术, 可以在钨针 尖上沉积非晶态 HfB。薄膜,形成 W-HfB。复合探针。 实验表明,这种复合探针在长时间扫描中表现出极 高的稳定性,能够在数天内保持一致的成像质量, 并且通过恒间距扫描隧道谱(STS)验证了其电子特 性的高度一致性。因此,金属性陶瓷材料如 HfB, 为 STM 针尖的制备提供了一种创新解决方案,有效 克服了传统探针材料在化学稳定性方面的局限性。

## 2.4 自动化氢去钝化光刻技术

近年来,人工智能技术的快速发展为基于 STM 的氢去钝化技术的工艺智能化带来了前所未 有的突破性机遇。通过深度学习算法对海量 STM 实验数据进行建模分析,研究人员能够构建针尖状 态与操作参数之间的精确关联模型,从而智能预测 最优加工条件,显著提升氢去钝化等基于原子级操 控工艺的效率和稳定性。

近期, Krull A 团队开发的 DeepSPM 人工智能框架实现了扫描探针显微镜(SPM)的全自动化操作<sup>[44]</sup>。该系统集成了集成智能区域选择、图像质量评估和针尖状态修复三大模块,结合卷积神经网络(Convolutional Neural Networks, CNN)与基于 Q-learning 的深度强化学习(Reinforcement Learning, RL)方法,在 86 h 内自动扫描超过 1.2 μm² 区域,生成 16,000 余张图像,并完成 117 次有效针尖修复与1,075 次不良区域规避。实验表明,图像识别准确率达 94%,针尖修复策略优于随机方法 28%,显著提升了操作效率与数据质量。

在单原子操纵方面, Foster A S 团队开发的深度强化学习 STM 操控系统同样展现出了卓越的性能<sup>[45]</sup>。该系统采用三项关键技术实现对金属表面吸附原子的亚纳米级精准操控: (1)结合 CNN 与电流信号经验公式, 有效识别目标原子, 减少约 90% 的冗余扫描; (2)结合匈牙利算法与快速探索随机树(Rapidly-exploring Random Tree, RRT), 规划最优针尖移动路径; (3)改进 Soft Actor-Critic(SAC)算法,仅需 2000 次训练迭代即可实现 100% 操作成功率,定位误差低至 0.089 nm, 并具备出色的自适应能力以应对针尖结构变化。

在自动化氢去钝化光刻技术研究方面,研究人员已开发出能够在 H:Si(100)表面实现单氢原子精准去除的自动化程序<sup>[46]</sup>。该技术的核心创新在于引入基于 STM 电流信号的实时反馈控制机制,可精确检测氢原子脱附事件,并在脱附发生后快速调整成像参数。自动化的数据采集与分析也为后续基于深度学习的工艺优化奠定了坚实的基础。

这些前沿技术的融合应用为氢去钝化工艺的 进一步优化开辟了新的技术路径。通过整合智能 图像识别、实时反馈控制与针尖自适应操作算法, 未来有望实现更加高效率且稳定的氢去钝化加工 过程。

#### 2.5 氢去钝化光刻在线监测与修复技术

尽管氢去钝化技术能够实现原子级精度的图 案化加工,但在实际操作过程中仍不可避免地会出 现加工误差,例如在非目标区域错误地移除氢原子, 从而导致结构失效或图案失真。为了解决这一问 题,研究团队开发了一种基于 STM 的原位监测与 修复技术—氢再钝化技术[47]。该技术利用 STM 对 加工区域进行二次扫描,将目标图案与实际加工结 果进行对比,能够实时识别并定位错误移除的氢原 子。随后,通过将错误移除的氢原子重新附着到硅 悬挂键上,恢复表面的氢钝化状态,从而修复错误 结构。氢再钝化的具体步骤如下: 首先,将 STM 尖 端精确定位在目标悬挂键上方,关闭反馈控制以固 定尖端高度;接着,调整偏压至100 mV至1.0 V之 间,使针尖向样品表面移动500-800 pm,同时实时 记录隧道电流的变化。研究人员发现,针尖上吸附 的氢原子可以被转移到目标硅悬挂键上。成功的 氢再钝化会伴随两种独特的隧道电流信号: type-I 和 type-II。type-I 信号表现为隧道电流的突然增加, 通常与针尖顶点的氢原子转移相关; type-II 信号则 表现为隧道电流的突然减少,通常与针尖非顶点的 氢原子转移相关。这两种信号的出现表明氢原子 已成功重新附着到悬挂键上,完成修复[47]。通过自 动化程序, 氢再钝化技术能够高效、精确地修复氢 去钝化过程中产生的错误结构。这种原位修复技 术确保了图案化区域的原子级精度,为原子尺度器 件的开发和应用提供了重要的技术支持。

## 3 氢去钝化光刻技术应用前景

## 3.1 芯片制造工艺突破

HDL 技术为芯片制造工艺的突破性升级提供了原子级精度的技术路径,这种原子尺度操控能力为开发超高密度集成电路、单原子存储器和逻辑器件奠定了技术基础,推动芯片制造从纳米级向原子级跨越。2012年,澳大利亚新南威尔士大学的Simmons M Y 团队展示了利用氢去钝化光刻技术制备的将单个 P 掺杂原子作为输运通道的单原子晶体管,展示了 HDL 技术在原子尺度上精确操控硅材料并构建功能器件的能力(图 6)<sup>[22]</sup>。在单原子晶体管的制备过程中,研究人员首先使用 STM 在氢钝化的硅表面上定义出源极(S)、漏极(D)和栅极(G1、G2)的区域。通过选择性脱附氢原子,暴露出

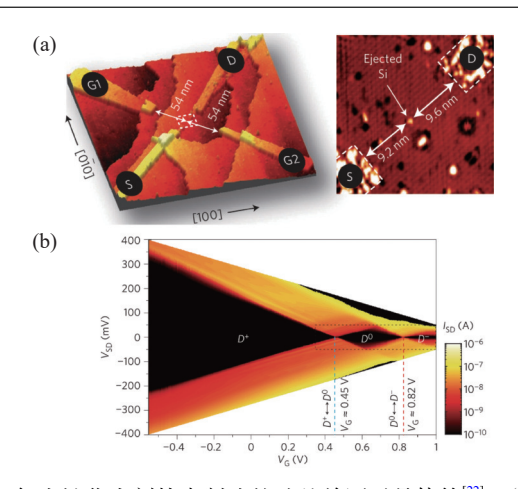


图6 氢去钝化光刻技术制造的硅基单原子晶体管<sup>[22]</sup>。(a) 单原子晶体管的三维和平面 STM 图像。(b)器件的源漏电流(以对数刻度表示)随源漏偏压(VSD)和栅极电压(VG)的变化。其中,掺杂原子(Donor, D)的电荷态经历了 D<sup>†</sup>向 D<sup>0</sup> 和 D<sup>-</sup>的连续转变,对应的栅极电压分别为0.45 V 和 0.82 V

Fig. 6 Silicon-based single-atom transistor fabricated using hydrogen depassivation lithography (HDL)<sup>[22]</sup>. (a) Three-dimensional and planar STM images of the single-atom transistor. (b) Source-drain current (plotted on a logarithmic scale) as a function of source-drain bias (VSD) and gate voltage (VG). The charge state of the dopant atom (Donor, D) undergoes a continuous transition from D<sup>+</sup> to D<sup>0</sup> to D<sup>-</sup>, with corresponding gate voltages of 0.45 V and 0.82 V, respectively

裸露的硅表面,随后引入磷化氢气体并进行热退火,使磷原子嵌入硅晶格中,形成高度磷掺杂的导电电极。通过精确控制脱附区域的大小和位置,研究人员能够将单个磷原子精确地放置在源极和漏极之间的通道中,形成单原子晶体管的核心结构。为了将磷原子封装在硅晶体中,研究人员在器件表面生长了一层约 180 nm 的外延硅层,将磷原子封装于硅晶体的体内,减少表面效应对其电子态的影响。

通过低温电子输运测量,研究人员观察到了 P 原子的离散量子能级,并验证了其电荷态的变化。实验测得单原子晶体管的充电能量(即 D<sup>0</sup> 和 D<sup>-</sup>态之间的能量差)为 47±3 meV,与体材料硅中磷原子的充电能量(45.6 meV)非常接近。这表明,尽管磷原子位于高掺杂电极的附近,其电子态仍然保持了体相硅材料中单个掺杂原子的特性。通过调节栅极电压,研究人员能够精确控制磷原子的电荷态,实现从 D<sup>+</sup>(正电荷态)到 D<sup>0</sup>(中性态)再到 D<sup>-</sup>(负电荷态)的转变。基于 HDL 技术制备的单原子晶体

管标志着人类在半导体器件制造领域首次达到了摩尔定律的物理极限,即基于单个原子的器件,展示了在原子尺度上构建功能器件的可能性。这种原子级精度的制造技术为开发新一代高性能芯片提供了坚实的基础。例如,单原子存储器可以通过精确控制单个掺杂原子的电荷态来实现信息的存储与读取,而单原子逻辑门则可以利用单个原子的量子态进行逻辑运算,从而实现超高密度的集成电路。未来,通过提升 HDL 的加工效率与可靠性,该技术路径有望与极紫外光刻技术深度融合,进一步提升芯片制造的精度与效率,推动半导体科技实现突破性进展,并加速半导体芯片产业的全面升级。

## 3.2 纳米压印技术升级

随着半导体制造技术不断逼近物理极限,原子 级精准的 HDL 技术有望成为下一代芯片制造的核 心突破口。然而,尽管 HDL 技术在原子尺度器件 的概念验证方面已经取得了显著成功,但要将其真 正应用于工业化的芯片制造,必须解决其加工效率 低的瓶颈难题。在这一背景下, Zyvex 公司的研究 团队指出,将 HDL 与技术应用于高精度纳米压印 母版的制造有望为原子精度器件的规模化制造提 供一条极具前景的技术路径[36]。作为极紫外光刻 (EUV)的替代技术方案,纳米压印光刻近年来在微 纳制造领域备受关注。其核心工艺借鉴了活字印 刷原理: 首先制备带有纳米图案的压印母版, 通过 机械压印将母版结构转印至旋涂于硅片的光刻胶 层,随后利用紫外光固化或热固化技术固定图案, 最终通过刻蚀工艺实现硅基底的图形化。目前该 技术已在波导阵列、衍射光栅等光学元件制造中实 现规模化应用,如 Meta Quest Pro 等头戴式设备的 高分辨率显示模块便采用该工艺制造。值得注意 的是,通过 HDL 技术制备具有原子级精度和大高 宽比的三维结构,作为纳米压印母版,有望将压印 线宽精度提升至 6 nm<sup>[34]</sup>, 这或将实现纳米压印技术 的精度升级,为该技术在半导体先进制程中的应用 铺平道路。

## 3.3 量子信息器件制备

1998年, Kane B E<sup>[48]</sup> 提出了一种基于硅中掺杂 P 原子核自旋的硅基量子集成电路理论方案。该方案的核心是利用磷原子的自旋作为量子比特,理论上这些量子比特具有极长的相干时间,同时得益于

硅基材料的良好可扩展性,该方案被认为在实现通用量子计算机方面具有巨大的潜力。然而,要实现这一方案,必须解决一个关键的技术挑战:制造高保真度(>99.9%)的单量子比特和双量子比特门。这需要实现原子级精度的掺杂控制,包括精确调控器件中磷原子的数量及其在硅晶格中的位置。这一技术要求远远超出了当时半导体加工工艺的能力范围。

在氢去钝化光刻(HDL)技术发展的初期,研究人员便认识到利用 HDL 技术可以将掺杂磷原子以确定性的方式精确放置到硅晶体中,从而实现对量子比特特性的精确设计,以实现 Kane B E 等<sup>[49]</sup> 的理论设想。随着 HDL 技术的不断发展,实现量子集成电路的关键技术逐渐取得突破。2017年,澳大利

亚新南威尔士大学的 Simmons M Y 课题组利用其发展的基于 HDL 的平面器件制造技术,首次在硅中实现了精确放置的掺杂 P 原子量子比特,并利用单电子晶体管对其自旋态实现了高保真度(98.4±0.2%)读取<sup>[24]</sup>。随后,他们通过增加量子比特中的磷原子数量来增强电子约束,显著延长了量子点的电子自旋寿命,达到 30 s,从而实现了对两个束缚在掺杂原子上的电子自旋量子比特的高保真度(99.8%)顺序读取<sup>[12]</sup>。2019 年,他们进一步成功演示了基于掺杂P原子量子比特的高保真双量子比特门操作,标志着基于 HDL 技术制造可扩展通用量子计算机的关键组件已经完备<sup>[26]</sup>。最近,他们又实现了基于掺杂P原子的四量子比特的高保真度初始化和控制(图 7)<sup>[27]</sup>。此外, HDL 技术还支持在硅中进行三维制造,能够

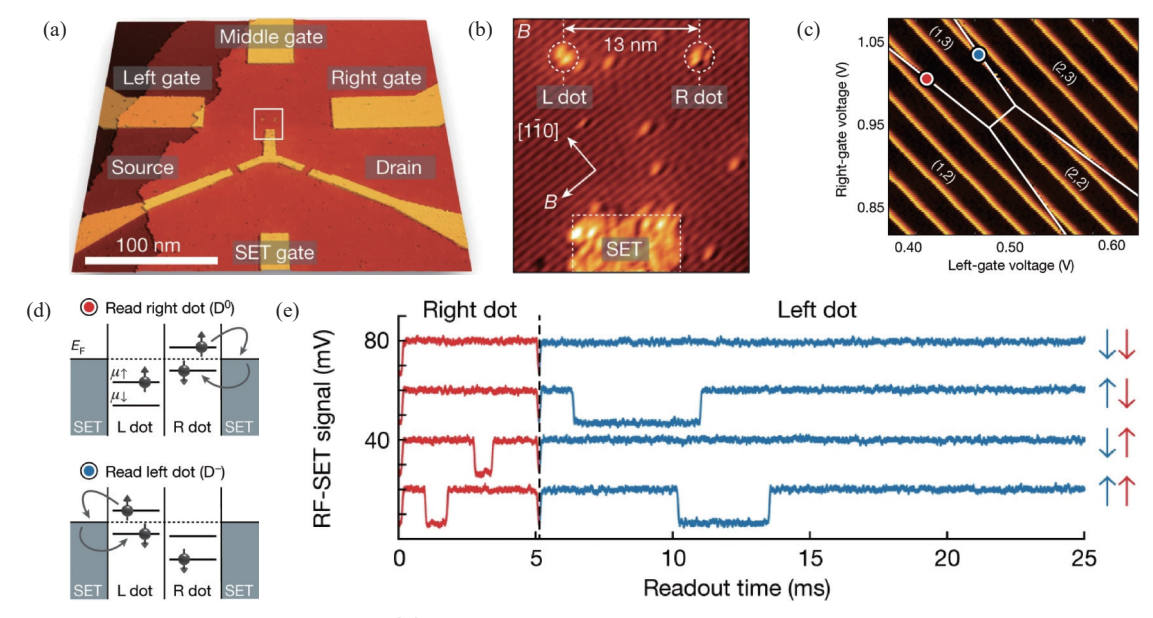


图7 高保真、独立读取的掺杂原子两比特门<sup>[26]</sup>。(a)两个量子比特器件的 STM 图像。较亮的区域为氢去钝化光刻形成的图案 化区域。该器件由四个栅极组成: 左栅极、中间栅极、右栅极以及用于控制量子比特和射频单电子晶体管(RF-SET)电化 学势的 SET 栅极。(b)RF-SET 和定义量子比特 L(左)和 R(右)的两个掺杂量子点的 STM 图像。(c)RF-SET 的反射振幅 对于左栅极和右栅极电压的函数,图中标明了电子数(nL, nR)。白线表示单个量子比特与 RF-SET 之间的电荷跃迁。蓝 点和红点分别标记了在左量子比特和右量子比特上进行自旋读取的位置。(d)两个量子比特的电化学势  $\mu\uparrow$ 和  $\mu\downarrow$ (分别对 应自旋态  $|\uparrow\rangle$ 和  $|\downarrow\rangle$ ),展示了如何使用能量选择协议测量电子自旋态。(e)基于时序测量的 RF-SET 反射振幅,用于区分 四种可能的量子比特状态

Fig. 7 High-fidelity, independent single-shot spin readout of two donor qubits<sup>[26]</sup>. (a) STM micrograph of the two-qubit device. The lighter regions show the open lithographic hydrogen mask. The device consists of four gates: left, middle, right and the SET gate used to control the electrochemical potentials of the qubits and the RF-SET. (b) Close-up STM micrograph of the RF-SET and the two donor dots that define the qubits L (left) and R (right). (c) Reflected amplitude of the RF-SET as a function of the left- and right-gate voltages with electron numbers (nL, nR). The white lines indicate charge transitions between individual qubits and the RF-SET. The blue and red dots mark the position where spin readout is performed on the left and right qubit, respectively. (d) Electrochemical potentials μ↑ and μ↓ of the two qubits (with spin | ↑⟩ and | ↓⟩, respectively, showing how the electron spin states are measured using an energy-selective protocol. (e) Reflected RF-SET amplitude measured as a function of time, used to distinguish between the four possible qubit states

将多个器件层以纳米级精度堆叠和对齐在同一硅晶体中。这种三维制造能力不仅有助于实现低噪声量子比特门控和控制,还为全外延电子自旋共振(ESR)和核磁共振(NMR)天线、外延噪声屏蔽层以及片上集成量子集成电路的实现提供了可能性<sup>[25]</sup>。这些进展为未来大规模硅基量子集成电路的发展奠定了坚实的基础。

基于 HDL 技术实现的原子级精准 P 掺杂,也被用于构建二维或三维的量子点阵列,模拟复杂的多体物理系统,如扩展的费米-哈伯德模型<sup>[50]</sup>。通过精确控制量子点之间的距离和掺杂原子的数量,研究人员可以调节量子点之间的隧穿耦合强度和长程相互作用,从而模拟强关联电子系统中的金属一绝缘体转变、莫特绝缘体行为等现象。这种原子级精度的制造方法为研究拓扑相变、高温超导性等复杂量子现象提供了新的实验平台。

## 4 总结与展望

氢去钝化光刻技术作为原子级制造的突破性方法,成功将理查德·费曼于 1959 年提出的"我们能按需排列原子"("we can arrange the atoms the way we want")<sup>[51]</sup> 的科学愿景转化为现实,展现出传统光刻技术难以企及的精度。其通过扫描隧道显微镜探针发射的电子束精确操控氢原子钝化层,实现了原子精度的图案化加工,显著提升了半导体器件的制造精度,为未来芯片技术迈向原子级精准制造提供了极具潜力的技术路径。在纳米压印制造方面,HDL技术也展现出了独特价值,通过原子层沉积与刻蚀工艺的协同,为纳米结构的大规模复制提供了原子级精度的三维压印母版。在量子信息领域,HDL已展现出革命性应用前景,既能精准控制单个磷原子构建量子比特,又可制备量子点结构探索量子现象。

不过, HDL 技术要实现产业化应用仍需突破多重技术瓶颈。当前加工速度受限于探针人工操作模式, 与半导体工业的规模化生产需求存在数量级差距, 仍需人工智能辅助的自动化加工等方案提升效率。另外, 在复杂量子器件的制造中, 原子级误差的实时检测与动态补偿机制仍需完善, 这对加工过程的控制系统提出了更高要求。此外, 氢钝化工艺的稳定性、电子束参数的精准调控以及后续沉积/刻蚀工艺的协同优化, 都需要建立更完备的理论模

型和工艺标准。这些技术挑战的突破需要对表面物理化学过程的深入理解,以及跨学科的技术融合与创新。

#### 参考文献

- [1] Imec. Smaller, better, faster: imec presents chip scaling roadmap[EB/OL]. https://www.imec-int.com/en/articles/smaller-better-faster-imec-presents-chip-scaling-roadmap 2023
- [2] Yang D K, Wang D, Huang Q S, et al. The development of laser-produced plasma EUV light source[J]. Chip, 2022, 1(3): 100019
- [3] Van Schoot J, van Setten E, Troost K, et al. High-NA EUV lithography exposure tool: program progress[C]// Proceedings of Extreme Ultraviolet (EUV) Lithography XI, San Jose: SPIE, 2020: 1132307
- [4] Eigler D M, Schweizer E K. Positioning single atoms with a scanning tunnelling microscope[J]. Nature, 1990, 344(6266): 524–526
- [5] Dagata J A, Schneir J, Harary H H, et al. Pattern generation on semiconductor surfaces by a scanning tunneling microscope operating in air[J]. Journal of Vacuum Science & Technology B: Microelectronics and Nanometer Structures Processing, Measurement, and Phenomena, 1991, 9(2): 1384–1388
- [6] Becker R S, Higashi G S, Chabal Y J, et al. Atomic-scale conversion of clean Si(111): H-1×1 to Si(111)-2×1 by electron-stimulated desorption[J]. Physical Review Letters, 1990, 65(15): 1917–1920
- [7] Boland J J, Parsons G N. Bond selectivity in silicon film growth[J]. Science, 1992, 256(5061): 1304–1306
- [8] Shen T C, Wang C, Abeln G C, et al. Atomic-scale desorption through electronic and vibrational excitation mechanisms[J]. Science, 1995, 268(5217): 1590–1592
- [9] Lyding J W, Shen T C, Abeln G C, et al. Nanoscale patterning and selective chemistry of silicon surfaces by ultrahigh-vacuum scanning tunneling microscopy[J]. Nanotechnology, 1996, 7(2): 128–133
- [10] Chen S, Xu H, Goh K E J, et al. Patterning of sub-1 nm dangling-bond lines with atomic precision alignment on H: Si(100) surface at room temperature[J]. Nanotechnology, 2012, 23(27): 275301
- [11] Tucker J R, Shen T C. Prospects for atomically ordered device structures based on STM lithography[J]. Solid-State Electronics, 1998, 42(7-8): 1061–1067
- [12] Watson T F, Weber B, Hsueh Y L, et al. Atomically engi-

- neered electron spin lifetimes of 30 s in silicon[J]. Science Advances, 2017, 3(3): e1602811
- [13] Schofield S R, Curson N J, Simmons M Y, et al. Atomically precise placement of single dopants in Si[J]. Physical Review Letters, 2003, 91(13): 136104
- [14] Ruess F J, Oberbeck L, Simmons M Y, et al. Toward atomic-scale device fabrication in silicon using scanning probe microscopy[J]. Nano Letters, 2004, 4(10): 1969–1973
- [15] Oberbeck L, Curson N J, Hallam T, et al. Measurement of phosphorus segregation in silicon at the atomic scale using scanning tunneling microscopy[J]. Applied Physics Letters, 2004, 85(8): 1359–1361
- [16] Wilson H F, Warschkow O, Marks N A, et al. Phosphine dissociation on the Si(001) surface[J]. Physical Review Letters, 2004, 93(22); 226102
- [17] Rueß F J, Oberbeck L, Goh K E J, et al. The use of etched registration markers to make four-terminal electrical contacts to STM-patterned nanostructures[J]. Nanotechnology, 2005, 16(10): 2446–2449
- [18] Wilson H F, Warschkow O, Marks N A, et al. Thermal dissociation and desorption of PH<sub>3</sub> on Si(001): a reinterpretation of spectroscopic data[J]. Physical Review B, 2006, 74(19): 195310
- [19] Rueß F J, Pok W, Reusch T C G, et al. Realization of atomically controlled dopant devices in silicon[J]. Small, 2007, 3(4): 563–567
- [20] Fuechsle M, Rueß F J, Reusch T C G, et al. Surface gate and contact alignment for buried, atomically precise scanning tunneling microscopy–patterned devices[J]. Journal of Vacuum Science & Technology B: Microelectronics and Nanometer Structures Processing, Measurement, and Phenomena, 2007, 25(6): 2562–2567
- [21] Weber B, Mahapatra S, Ryu H, et al. Ohm's law survives to the atomic scale[J]. Science, 2012, 335(6064): 64–67
- [22] Fuechsle M, Miwa J A, Mahapatra S, et al. A single-atom transistor[J]. Nature Nanotechnology, 2012, 7(4): 242–246
- [23] Warschkow O, Curson N J, Schofield S R, et al. Reaction paths of phosphine dissociation on silicon (001)[J]. The Journal of Chemical Physics, 2016, 144(1): 014705
- [24] Broome M A, Watson T F, Keith D, et al. High-fidelity single-shot singlet-triplet readout of precision-placed donors in silicon[J]. Physical Review Letters, 2017, 119(4): 046802
- [25] Koch M, Keizer J G, Pakkiam P, et al. Spin read-out in

- atomic qubits in an all-epitaxial three-dimensional transistor[J]. Nature Nanotechnology, 2019, 14(2): 137–140
- [26] He Y, Gorman S K, Keith D, et al. A two-qubit gate between phosphorus donor electrons in silicon[J]. Nature, 2019, 571(7765): 371–375
- [27] Reiner J, Chung Y, Misha S H, et al. High-fidelity initialization and control of electron and nuclear spins in a four-qubit register[J]. Nature Nanotechnology, 2024, 19(5): 605–611
- [28] Randall J N, Lyding J W, Schmucker S, et al. Atomic precision lithography on Si[J]. Journal of Vacuum Science & Technology B: Microelectronics and Nanometer Structures Processing, Measurement, and Phenomena, 2009, 27(6): 2764-2768
- [29] Randall J N, Ballard J B, Lyding J W, et al. Atomic precision patterning on Si: an opportunity for a digitized process[J]. Microelectronic Engineering, 2010, 87(5-8): 955-958
- [30] Goh K E J, Chen S, Xu H, et al. Using patterned H-resist for controlled three-dimensional growth of nanostructures[J]. Applied Physics Letters, 2011, 98(16): 163102
- [31] Randall J N, Von Her J R, Ballard J, et al. Atomically precise manufacturing: the opportunity, challenges, and impact, atomic scale interconnection machines[M]//Joachim C. Atomic scale interconnection machines. Berlin, Heidelberg: Springer, 2012: 89–106
- [32] Schmucker S W, Kumar N, Abelson J R, et al. Field-directed sputter sharpening for tailored probe materials and atomic-scale lithography[J]. Nature Communications, 2012, 3(1): 935
- [33] Ballard J B, Sisson T W, Owen J H G, et al. Multimode hydrogen depassivation lithography: a method for optimizing atomically precise write times[J]. Journal of Vacuum Science & Technology B: Microelectronics and Nanometer Structures Processing, Measurement, and Phenomena, 2013, 31(6): 06FC01
- [34] Ballard J B, Owen J H G, Owen W, et al. Pattern transfer of hydrogen depassivation lithography patterns into silicon with atomically traceable placement and size control[J]. Journal of Vacuum Science & Technology B: Microelectronics and Nanometer Structures Processing, Measurement, and Phenomena, 2014, 32(4): 041804
- [35] Randall J N, Owen J H G, Lake J, et al. Highly parallel scanning tunneling microscope based hydrogen depassivation lithography[J]. Journal of Vacuum Science & Technology B: Microelectronics and Nanometer Struc-

- tures Processing, Measurement, and Phenomena, 2018, 36(6): 06JL05
- [36] Randall J N, Owen J H G, Fuchs E, et al. Digital atomic scale fabrication an inverse Moore's Law a path to atomically precise manufacturing[J]. Micro and Nano Engineering, 2018, 1: 1–14
- [37] Alipour A, Fowler E L, Moheimani S O R, et al. Atom-resolved imaging with a silicon tip integrated into an onchip scanning tunneling microscope[J]. Review of Scientific Instruments, 2024, 95(3): 033703
- [38] Oberbeck L, Curson N J, Simmons M Y, et al. Encapsulation of phosphorus dopants in silicon for the fabrication of a quantum computer[J]. Applied Physics Letters, 2002, 81(17): 3197–3199
- [39] Goh K E J, Oberbeck L, Simmons M Y, et al. Effect of encapsulation temperature on Si: P δ-doped layers[J]. Applied Physics Letters, 2004, 85(21): 4953–4955
- [40] Stock T J Z, Warschkow O, Constantinou P C, et al. Atomic-scale patterning of arsenic in silicon by scanning tunneling microscopy[J]. ACS Nano, 2020, 14(3): 3316–3327
- [41] Shen T C, Kline J S, Schenkel T, et al. Nanoscale electronics based on two-dimensional dopant patterns in silicon[J]. Journal of Vacuum Science & Technology B: Microelectronics and Nanometer Structures Processing, Measurement, and Phenomena, 2004, 22(6): 3182–3185.
- [42] Miwa J A, Simmons M Y. Atomic-scale devices in silicon by scanning tunneling microscopy[M]//Joachim C. Atomic scale interconnection machines. Berlin, Heidel-

- berg: Springer, 2012: 181-196
- [43] Constantinou P, Stock T J Z, Tseng L T, et al. EUV-induced hydrogen desorption as a step towards large-scale silicon quantum device patterning[J]. Nature Communications, 2024, 15(1): 694
- [44] Krull A, Hirsch P, Rother C, et al. Artificial-intelligencedriven scanning probe microscopy[J]. Communications Physics, 2020, 3(1): 54
- [45] Chen I J, Aapro M, Kipnis A, et al. Precise atom manipulation through deep reinforcement learning[J]. Nature Communications, 2022, 13(1): 7499
- [46] Møller M, Jarvis S P, Guérinet L, et al. Automated extraction of single H atoms with STM: tip state dependency[J]. Nanotechnology, 2017, 28(7): 075302
- [47] Achal R, Rashidi M, Croshaw J, et al. Lithography for robust and editable atomic-scale silicon devices and memories[J]. Nature Communications, 2018, 9(1): 2778
- [48] Kane B E. A silicon-based nuclear spin quantum computer[J]. Nature, 1998, 393(6681): 133–137
- [49] O'Brien J L, Schofield S R, Simmons M Y, et al. Towards the fabrication of phosphorus qubits for a silicon quantum computer[J]. Physical Review B, 2001, 64(16): 161401
- [50] Wang X Q, Khatami E, Fei F, et al. Experimental realization of an extended Fermi-Hubbard model using a 2D lattice of dopant-based quantum dots[J]. Nature Communications, 2022, 13(1): 6824
- [51] Feynman R P. There's plenty of room at the bottom[J]. Resonance, 2011, 16(9): 890–905